МИКРОСТРУКТУРА И МЕХАНИЧЕСКИЕ СВОЙСТВА ЛАМИНИРОВАННЫХ

КОМПОЗИТОВ Та/ Ti_3 Al(Si) C_2 -TiC-Al $_2O_3$ *А.В. АБДУЛЬМЕНОВА*Томский политехнический университет

E-mail: ava75@tpu.ru

Введение. МАХ-фазы представляют собой сравнительно новый класс керамических материалов. Обычно это семейство тройных нанослойных соединений с общей формулой $M_{n+1}AX_n$, где M – переходный металл, A – элементы групп IIIA и IVA, X – N или C, а nварьируется от 1 до 3 [1]. МАХ-фазы характеризуются теплопроводностью, возможностью механической обработки, пластичностью при высоких температурах, высоким модулем Юнга и низкой плотностью, устойчивостью к коррозии. Однако, несмотря на их высокие механические свойства, при низких температурах они демонстрируют хрупкое разрушение под действием механических напряжений [2]. Ранее [3] были получены новые ламинированные металлокерамические композиты Nb/Ti₃Al(Si)C₂-TiC-Al₂O₃, в которых использование металлических слоев улучшило сопротивляемость материалов распространению трещин. Тем не менее, данные композиты оказались недостаточно стойкими к окислению при температурах выше 1200 °C из-за обеднения внешних слоев керамики алюминием за счет формирования реакционного слоя на границе керамика/металл [4]. Тантал, являясь более тугоплавким и пластичным металлом, может использоваться для создания жаростойких композитов, обладающих высокой вязкостью разрушения. Таким образом, цель данной работы заключалась в получении новых ламинированных металлокерамических композитов методом искрового плазменного спекания прекерамических бумаг на основе MAX-фазы $Ti_3Al(Si)C_2$ и фольг из тантала.

Материалы и методы исследования. Ламинированные композиты формировали методом искрового плазменного спекания на установке SPS 10-4 при 1250 °C, приложенном давлении 50 МПа и выдержки в течение 5 мин. В качестве исходных материалов использовали металлические фольги из Та толщиной ~ 100 мкм и прекерамическую бумагу на основе MAX-фазы $Ti_3Al(Si)C_2$ ($Ti_3Al_{0,75}Si_{0,25}C_2$) толщиной ~ 300 мкм. Фазовый состав полученных композитов исследовали с помощью дифрактометра XRD 7000S. Микроструктура и элементный состав анализировались методом сканирующей электронной микроскопии (СЭМ) на установке Vega3 с приставкой для энергодисперсионной рентгеновской спектроскопии (ЭДС). Прочность на изгиб оценивалась методом трехточечного изгиба с применением машины для растяжения A1-7000M.

Результаты. Исходная прекерамическая бумага состоит из кристаллических фаз $Ti_3Al(Si)C_2$ (90 об. %) с гексагональной плотноупакованной решеткой, кубической фазы TiC (7 об. %) и α - Al_2O_3 (3 об. %) с ромбоэдрической структурой, а также аморфной фазой органических целлюлозных волокон. После спекания прекерамических бумаг и фольг из Ta был получен композит, представленный фазами $Ti_3Al(Si)C_2$, TiC и α - Al_2O_3 , соответствующими керамическим слоям, а также кубической фазой Ta, соответствующей металлическим слоям. Следует отметить, что содержание $Ti_3Al(Si)C_2$ по отношению к TiC уменьшается по сравнению с прекерамической бумагой, что связано с частичным разложением MAX-фазы до TiC во время спекания и образованием реакционного слоя на границе металл/керамика (см. далее).

В результате спекания сформировалась плотная слоистая микроструктура с чередующимися слоями Та толщиной $\sim\!63$ мкм и керамики на основе $Ti_3Al(Si)C_2-TiC-Al_2O_3$ толщиной $\sim\!103$ мкм, рисунок 1, а. На границе слоев сформировался реакционный слой (РС) толщиной $\sim\!13$ мкм, рисунок 1, б.

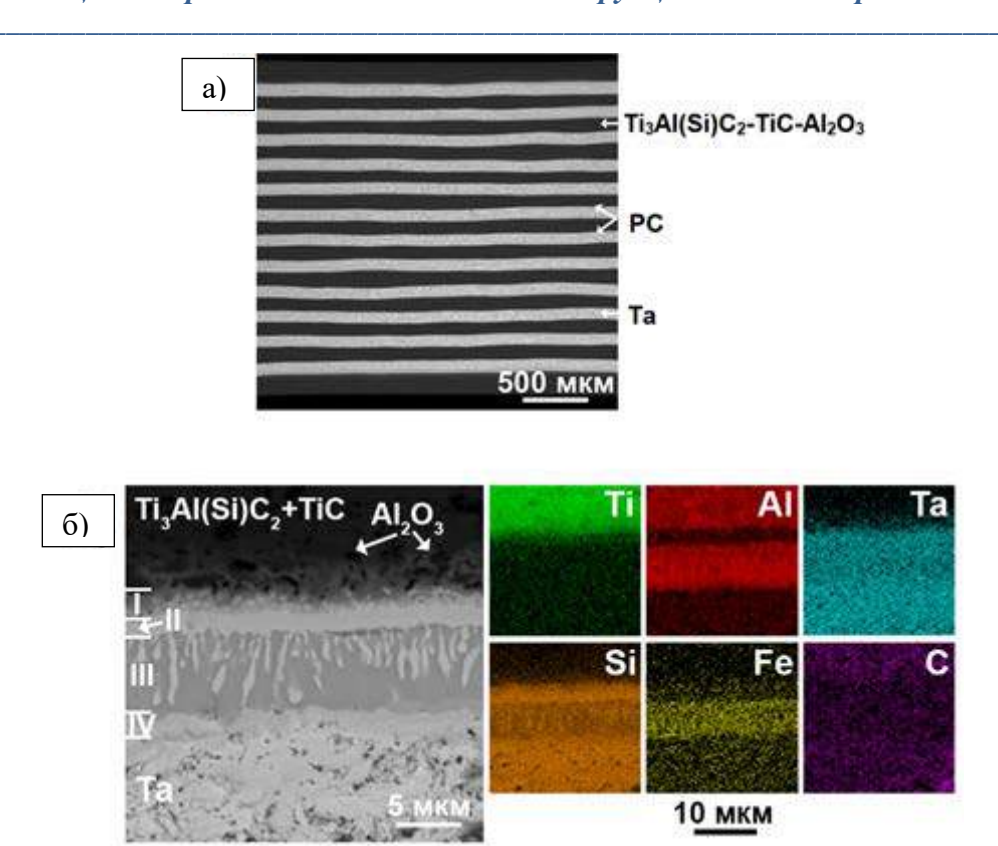


Рисунок 1. СЭМ-изображения а) поперечного сечения ламинированного композита $Ta/Ti_3Al(Si)C_2$ -TiC- Al_2O_3 , б) реакционного слоя и соответствующие карты распределения элементов. РС – реакционный слой

Анализ состава реакционного слоя методом ЭДС показал, что он состоит преимущественно из Ta, Al, Si и небольшого количества примесного Fe. Присутствие последнего связано с его использованием для синтеза порошков MAX-фазы. Присутствие Si в слое Ta обусловлено перекрытием спектральных линий элементов. На основе данных точечного анализа предполагается, что реакционный слой имеет микроструктуру, состоящую из четырех основных слоев: $I - (Ti, Ta)_5 Si_3 C_x$; $II - (Ta, Ti)_5 Si_3 C_x$; $III - Ta(Al, Fe)_2$ (темный контраст) + $Ta_5 Si_3$ (светлый контраст); $IV - Ta_2 Al + Ta_2 C$.

Результаты механических испытаний на трехточечный изгиб показали, что предел прочности ламинированного композита составил 430 ± 40 МПа. Для сравнения на рисунке 2а представлена деформационная кривая монолитной композитной керамики без слоев металла. Кривая ламинированного композита имеет характерный пик при достижении максимальной нагрузки, что свидетельствует о возникновении трещины во внешнем керамическом слое. Однако дальнейшая деформация не приводит к хрупкому разрушению образца, как это происходит у керамических композитов без слоев Та. Более того, кривая приобретает вид, свойственный пластически деформируемым материалам, благодаря присутствию слоев Та. Стоит обратить внимание на то, что предел прочности при изгибе композита $Ta/Ti_3Al(Si)C_2-TiC-Al_2O_3$ ниже, чем у монолитных образцов (~520 МПа). Однако ламинированная металлокерамическая структура обеспечивает увеличение абсолютной деформации более чем в четыре раза и высокую энергию разрушения.

Анализ поперечного сечения композита после испытаний на изгиб показал ступенчатое разрушение, рисунок 26, сопровождающееся образованием шеек в слоях Та, а также многократным растрескиванием керамических и реакционных слоев, рисунок 2в. На более детальном изображении области распространения трещины, рисунок 2в, видно расслоение

композита вдоль границы керамика/PC, что связано с присутствием хрупких силицидных фаз вблизи слоя $Ti_3Al(Si)C_2$ -TiC- Al_2O_3 .

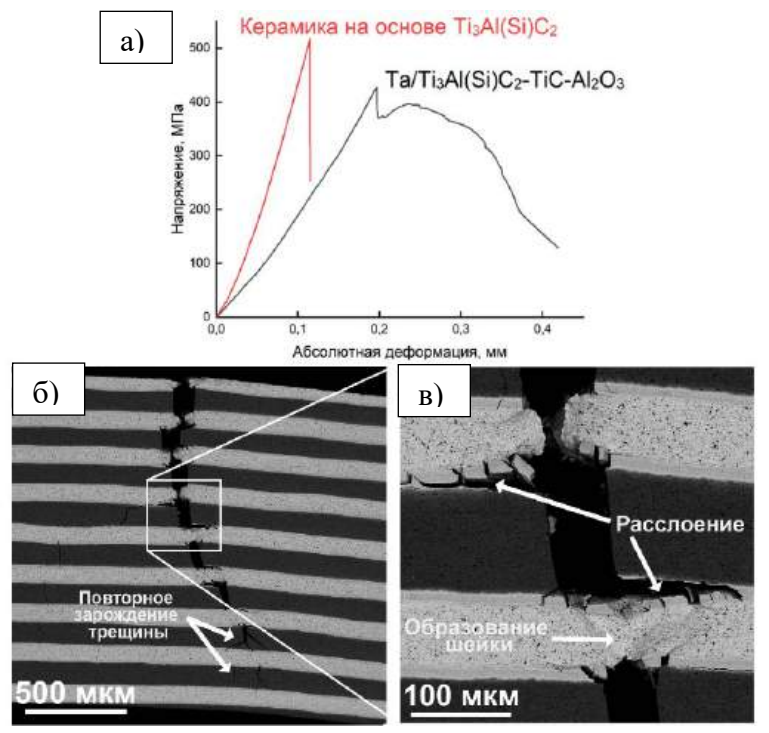


Рисунок 2. а) Деформационные кривые композитов. СЭМ-изображения поперечного сечения б) ламинированного композита и в) области распространения трещины

Заключение. Методом искрового плазменного спекания фольг из тантала и прекерамических бумаг на основе MAX-фазы $Ti_3Al(Si)C_2$ были получены плотные слоистые композиты, состоящие из керамических слоев на основе $Ti_3Al(Si)C_2$, TiC и Al_2O_3 (~103 мкм) и металлических слоев Ta (~63 мкм). При температуре спекания 1250 °C и давлении 50 МПа в течение 5 мин на границах раздела металл/керамика формируются гетерофазные реакционные слои толщиной ~13 мкм. Полученные композиты демонстрируют вязкий механизм разрушения с пределом прочности на изгиб ~430 МПа. Особый механизм разрушения обусловлен повышенным сопротивлением распространению трещин границами раздела металл/керамика, а также пластической деформацией слоев тантала.

Исследование выполнено при финансовой поддержке РНФ, проект № 23-19-00109.

Список литературы

- 1. Lei X., Lin N. Structure and synthesis of MAX phase materials: a brief review // Critical Reviews in Solid State and Materials Sciences. 2022. Vol 47, No 5. P. 736–771.
- 2. Barsoum M.W., Radovic M. Elastic and mechanical properties of the MAX phases // Annual review of materials research. 2011. Vol. 41, No. 1. P. 195–227.
- 3. Kashkarov E.B., Krotkevich D., Abdulmenova A., Tolkachev O., Travitzky N. High toughness laminated composites fabricated from $Ti_3Al(Si)C_2$ filled preceramic paper and Nb foils: formation mechanism and influence of laminate architecture // Advanced Engineering Materials. 2024. Vol. 26, No. 13. P. 2400361.
- 4. Kashkarov E.B., Abdulmenova A.V., Pushilina N.S., Syrtanov M.S., Mingazova Y.R., Nassyrbayev A., Krotkevich D.G., Travitzky N.A. High temperature oxidation and thermal properties of laminated $Ti_3Al(Si)C_2$ -TiC/Nb based composites obtained by spark plasma sintering // Journal of Alloys and Compounds. -2024. -Vol. 982. -P. 173848.